タイヤの発熱が道路雪氷に及ぼす熱的影響

福井大学大学院 学生員 藤本 明宏* 福井大学工学部 正会員 福原 輝幸* 山形大学工学部 正会員 孝男** 横山 山形大学工学部 正会員 渡邊 洋** 独立行政法人土木研究所新潟試験所 正会員 武士 俊也***

Ty: Temperature of tyre tread

独立行政法人土木研究所新潟試験所 正会員 健一***

緒言

冬期道路の安全性の向上と凍結防止剤 の効果的な削減のために,路面状態の予 測システムの構築が望まれている.しか しながら,現在の路面状態予測システム は,路面温度,気象台で観測される気温 や任意地点の積雪などの気象因子を基に 統計学的に取り扱う手法が主流であり、 車両走行や凍結防止剤の機械的、化学的 発生熱が道路雪氷の性状変化に及ぼす影 響を調べた研究は少ない.

そこで,本研究では特にタイヤの発熱 が雪氷路面に伝わる様子を室内実験によ り明らかにする.

Ta: Air temperature RHa: Relative humidity Ts: Temperature of compacted snow Tp: Temperature of pavement Tss: Surface temperature of compacted snow Tps: Surface temperature of pavement Snowfall Rainfall Salting Ty(z G: Heat conduction Tss Ie: Internal energy Ie Ts(z) Snow Rv: Vehicles radiation S: Sensible heat Tps (Sa:air flow, Sr:rainfall, Ss:snowfall) Rn:Net radiation Temperature profile Tp(z)L: Latent heat D: Latent heat due to salting (Ld:heat sink,heat source) Asphalt Wt: Generation of heat by internal friction

図-1 道路表層における熱エネルギー収支の概要図

道路雪氷の熱収支

図-1に道路雪氷を取り巻く熱エネルギー収支の概要を 示す.同図より,道路雪氷の時間変化は,雪氷層(圧雪層) を出入りする舗装体からの熱伝導,純短波および純長波放 射,水分の相変化に伴う潜熱,空気移動,降雨および降雪 に伴う顕熱,通行車両によるタイヤ発生熱と輻射熱,凍結 防止剤の化学熱などの熱エネルギー収支成分により、規定 される.

実験概要と実験条件

図-2に本実験で使用したホイールトラッキング試験 機の概観を,表一1に諸元をそれぞれ示す.実験手順とし て,まずアイススライサーで作成した人工雪を舗装体に 設置する.次に,試験機に装着したタイヤが雪の上を10 往復転がることで圧雪路面を作成する、この路面状態を 初期条件とし,ホイールトラッキング試験機を稼動させ,

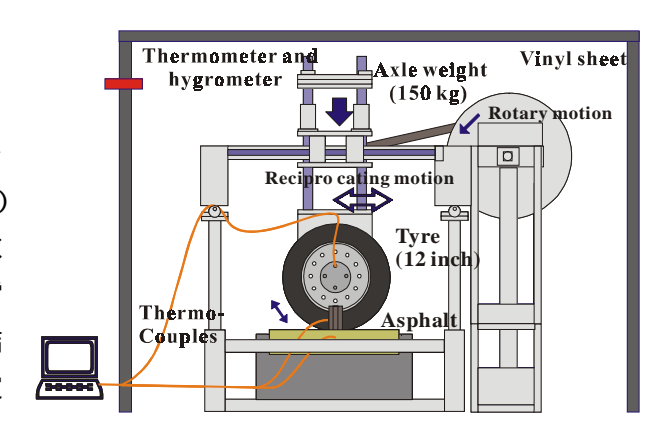


図-2 ホイールトラッキング試験機の概観

表 - 1 ホイールトラッキング試験機の諸元

| 試験機寸法(mm) | 2195 × 1200 × 1930 |
|--------------|-----------------------|
| 試験用タイヤ | 165/80R/13(ダンロップ製) |
| 軸重用ウェイト(kgf) | 150 |
| 舗装体寸法(mm) | 300×500×200(密粒アスファルト) |
| 駆動方式 | クランク駆動水平直進往復方式 |
| | |

キーワード ホイールトラッキング試験,車両タイヤ摩擦発熱,熱移動

〒910-8507 福井市文京 3-9-1 TEL 0776-23-0500 (2809) FAX 0776-27-8746

〒992-8510 米沢市城南 4 丁目 3-16 TEL 0238-26-3233 FAX 0238-26-3233

〒944-0051 新井市錦町2丁目6番8号 TEL 0255-72-4131 FAX 0255-72-9629

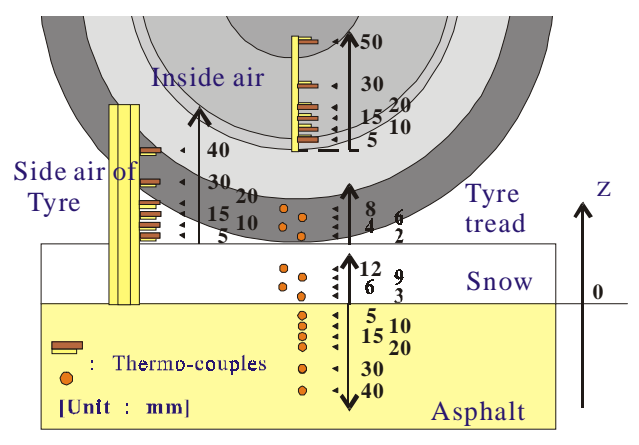


図-3 温度計測と計測位置

実験を開始する.なお,実験中の温度変化はタイヤ内空気,タイヤトレッド,圧雪および舗装体に埋設した熱電対により,パソコンに取り込まれる(図-3を参照).また,実験終了後に圧雪密度およびすべり摩擦係数をそれぞれ測定する.なお,環境条件は-3 ,-6 および-10 の3種類に設定し,タイヤの通過回数は 1000,3000,5000および9000回を選ぶ.

4. 実験結果および考察

図-4に室温-3 で実験を行った際の鉛直温 度分布の経時変化を、図-5に同実験におけるタイ ヤ内空気,タイヤトレッド,圧雪,舗装体温度お よび室温の経時変化をそれぞれ示す.実験開始時 の埋設深 2mm におけるタイヤ内部温度 (TytreadMes)は約-2.6 であり,0.5 時間後に は約 0 まで上昇した.これは,タイヤ内部のカ ーカスとタイヤゴムによる異物質間の摩擦および タイヤゴム自身の変形による内部発熱によるもの と考えられる.また,タイヤ内側表面から 5mm におけるタイヤ内空気温度 (TyairMes) は実験開 始時で約 - 2.5 であったが, 2.5 時間後には約 -1.5 まで上昇した.これは,タイヤ自体の内部発 熱によりタイヤ内空気が暖められたためと考えら れる .さらに ,実験開始時の舗装体内部温分布は , 鉛直方向に一様で約 - 2.9 であったが , 2.5 時間 後には深さ 5mm (PavMes) において約 - 2.1 と

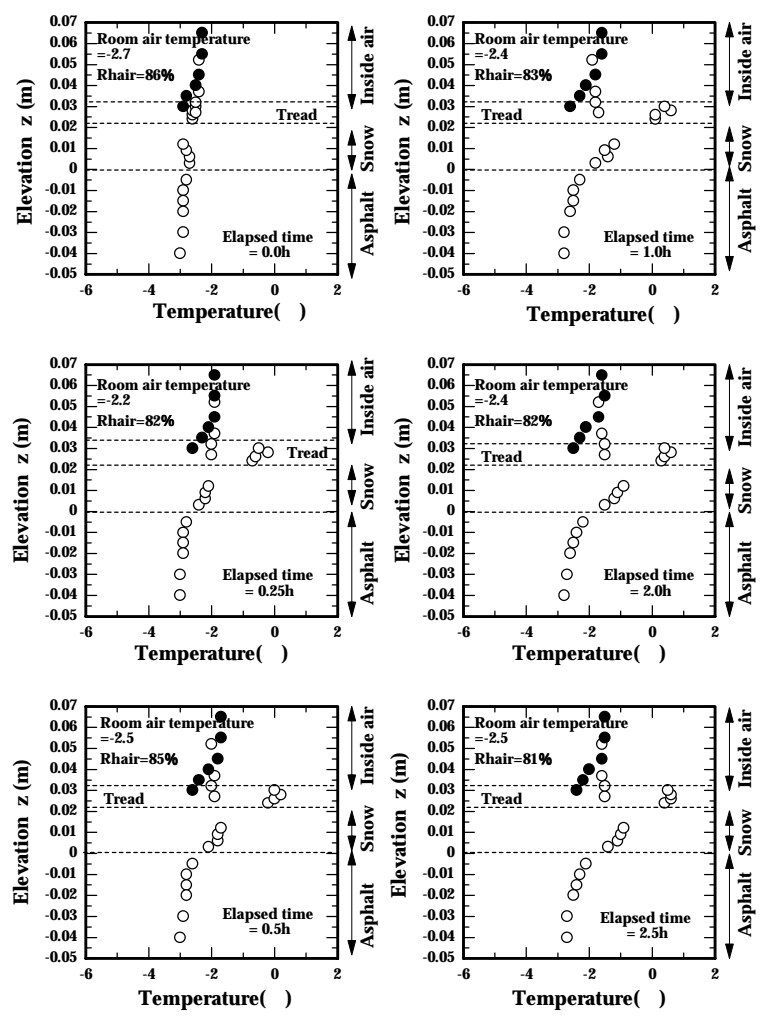


図-4 鉛直温度分布(Tair = -3℃)

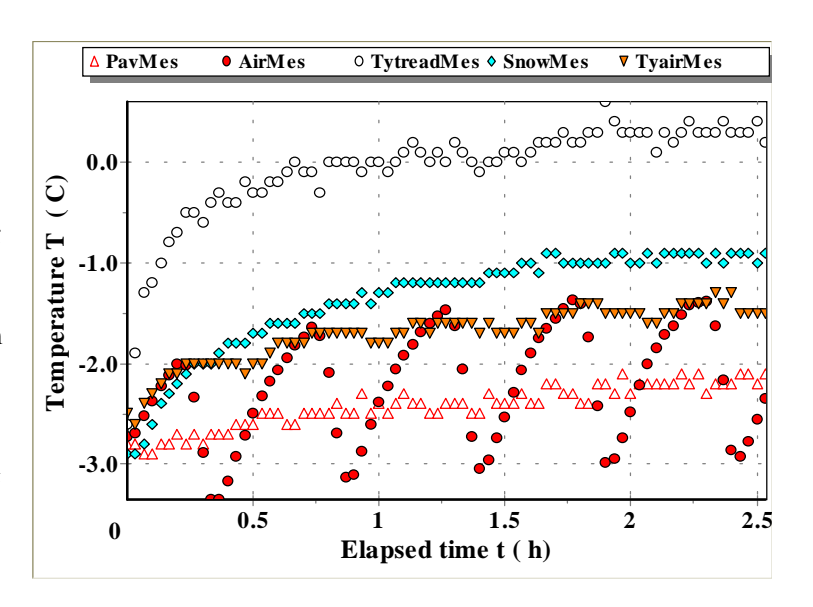


図-5 タイヤ、雪中、舗装体温度および室温の経時変化

なり,0.8 の温度上昇が観られた.これは,タイヤ自体の内部発熱が圧雪を介して,舗装体に伝導したためと考えられる.なお,実験開始時での表面下 10mm における圧雪内温度(SnowMes)は約-3.0 であったが,2.5 時間後では約-1.0 となり,2.0 の温度上昇となった.

以上,本実験方法よりタイヤ内部発熱が圧雪を介して、舗装体に伝播する様子を明らかにすることができた.今後はタイヤ発生熱の圧雪への移動モデルの構築を当面の目標とする.